



تخمین خرج ایمن به منظور کنترل لرزش زمین در انفجارات سطحی

عارف علیپور^{*} ^۱، مجتبی مختاریان اصل^۲

پذیرش مقاله: ۱۴۰۰/۰۴/۲۶

دریافت مقاله: ۱۳۹۹/۰۹/۰۵

چکیده

لرزش زمین یکی از پیامدهای ناخواسته روش چالزنی و انفجار است. اساساً انتخاب خرج ایمن در تاخیرهای انفجاری، با توجه به حد مجاز لرزش و فاصله‌ی نقطه‌ی حساس مدنظر از محل انفجار، صورت می‌گیرد. در این مقاله با استفاده از داده‌های ثبت شده‌ی مربوط به انفجارات معدن روباز سونگون، کارآئی رابطه‌های تجربی رگرسیونی متداول و روابط جدید مبتنی بر الگوریتم فرا ابتکاری، جهت تخمین ماکریم خرج ایمن در هر تاخیر انفجار، ارزیابی شده است. با توجه به اینکه روابط تجربی رایج، عمدهاً جهت تخمین ماکریم سرعت ذرات ارائه شده‌اند، هنگامی‌که خرج ایمن به صورت تابعی از ماکریم سرعت ذرات و فاصله تعریف می‌شود، جواب حاصل از این روش‌های تجربی رایج اغلب با خطای زیادی همراه است. در این پژوهش در کنار روابط تجربی غیرمستقیم مرسوم و رابطه‌ی نسبتاً جدید مستقیم ارائه شده توسط رای و همکاران، روابط جدیدی به منظور تخمین خرج ایمن انفجاری ارائه شده است؛ و ضرایب این روابط با استفاده از الگوریتم رقابت استعماری تعیین شده است. مطابق نتایج حاصل مبتنی بر شاخص‌های آماری ضریب همبستگی، مجدول میانگین مربعات خطای واریانس قدر مطلق خطای نسبی و به حساب واریانس، مدل غیرخطی پیشنهادی مبتنی بر الگوریتم رقابت استعماری، منجر به ارتقای سطح دقت تخمین شده و حتی بهتر از مدل پیشنهادی رای و همکاران عمل کرده است؛ از این‌رو رابطه‌ی پیشنهادی به عنوان یک مدل کارا به منظور طراحی انفجارات ایمن در معدن سونگون پیشنهاد می‌شود.

کلید واژه‌ها: انفجار، لرزش، تخمین خرج ایمن، روش‌های تجربی و الگوریتم رقابت استعماری.

۱. عضو هیات علمی گروه مهندسی معدن و مواد، دانشگاه صنعتی ارومیه، ارومیه a.alipour@mie.uut.ac.ir

۲. عضو هیات علمی گروه مهندسی معدن، دانشگاه صنعتی ارومیه، ارومیه

* مسئول مکاتبات

بار به صورت جدی توسط رای و همکاران مورد بررسی قرار گرفت؛ به عبارتی دیگر وقتی ماکریم خرج در هر تاخیر توسط روابط تجربی معمول به صورت تابعی از PPV و فاصله از سینه کار تخمین زده می‌شود، خطای تخمین خرج، بالا بوده و در عمل این روابط کارایی لازم را ندارند؛ و نیاز به رابطه‌ی مستقیم جهت تخمین خرج ایمن هرتاخیر ضروری است.

در چند دهه‌ی اخیر، هوش مصنوعی جهت حل مسائل مختلف علمی مورد استفاده قرار گرفته است. با توجه به توانمندی روش‌های فرآبتكاری به عنوان شاخه‌ای از هوش مصنوعی، جهت تعیین ضرایب روابط رگرسیونی پیچیده، می‌توان از آن به عنوان یک ابزار نیرومند جهت ارتقا رابطه‌های تخمینگر شدت لرزش و خرج ایمن تاخیرهای انفجار استفاده کرد. در مقاله حاضر نتایج ثبت ۳۷ انفجار سطحی در معدن مس سونگون مورد تحلیل واقع شده و روابط ارتقا یافته تخمینگر خرج ایمن انفجاری با استفاده از الگوریتم رقابت استعماری بدست آمده است، در نهایت مقایسه‌ای بین عمل کرد روابط تجربی مرسوم و روابط جدید پیشنهادی، صورت گرفته است.

۲. معرفی مورد مطالعاتی - معدن سونگون

معدن مس سونگون در شمال غرب ایران، در مختصات جغرافیایی، ۴۶ درجه و ۴۳ دقیقه طول شرقی و ۳۸ درجه و ۴۲ دقیقه عرض شمالی قرار دارد. سابقه معدنکاری در سونگون به دو قرن پیش بر می‌گردد. مطالعات امکان‌پذیری مقدماتی در سال ۱۳۷۰ توسط شرکت اس ان سی کانادا و در سال ۱۳۷۴ توسط شرکت ایتوک انجام شده است. عملیات پیش‌باطله-برداری نیز از سال ۱۳۷۲ توسط شرکت ترانشه معدن، آغاز و همزمان با انجام اکتشافات تکمیلی و تفضیلی به کمک شرکت-های مشاور پارس اولنگ و شرکت ریوتیتی در سال ۱۳۷۸ به پایان رسیده است. این کانسار از نوع نهشته‌های پورفیری مس بوده و رگه‌های درهم پرعيار در توده‌ی نیمه عمیق مونزونیت پورفیری متتمرکز شده‌اند. سنگ‌های درونگیر این توده‌ی مونزونیتی را واحدهای آهکی کرتاسه‌ی بالا و سری‌های ولکانیکی آندزیتی-لاتریتی تشکیل داده‌اند. با توجه به مشخصات

۱. مقدمه

با وجود پیشرفت‌های اخیر در فن حفاری مکانیزه، هنوز چالزنی و انفجار متداولترین روش حفاری سنگ است. به هنگام انفجار، تمامی انرژی ماده منفجره، صرف کار مطلوب نمی‌شود (Alipour et al., 2018) و انفجار علاوه بر محدوده‌ی مورد نظر، بر محدوده‌ی وسیعی از اطراف اثر نامطلوب می‌گذارد (Dowding, 1992).

برای طراحی انفجارات ایمن عاری از لرزش نامتعارف، بررسی‌های مختلفی توسط متخصصین صورت گرفته و استانداردهای مختلفی برای تامین اینمی اینهای، سازها و ... ارائه شده است (Hosseinzadeh Gharehghehlagh and Alipour, 2020). موضوع لرزش ناشی از انفجار از گذشته تاکنون موضوع بحث بسیاری از محققین بوده و از قدامتی طولانی برخوردار است. از تحقیقات اخیر می‌توان به کارهای (Kumar et al., 2016)، صورت گرفته در مراجع مربوط (Hudaverdi and Akyildiz, 2017) و (Koçaslan et al., 2017) اشاره کرد.

روابط تخمینگر متعددی جهت پیش‌بینی شدت لرزش در قالب ماکریم سرعت ذرات (PPV - Peak Particle Velocity) ارائه شده است؛ عمدتاً این روابط مبتنی بر کارهای آماری صورت گرفته بروی داده‌های حاصل از انفجارات آزمایشی بوده و شدت لرزش را به صورت تابعی از فاصله از سینه کار و Mokhtarian مقدار خرج در هرتاخیر بیان می‌کنند (Asl and Alipour, 2020). به هنگامی که ماکریم خرج ایمن در هر تاخیر توسط این روابط سنتی غیر مستقیم تخمین زده می‌شود، میزان دقت و صحت تخمین از سطح پایینی برخوردار است. علت بروز چنین مساله‌ای به کاربری اصلی این روابط تجربی که بیشتر جهت تخمین PPV که تابعی از فاصله و ماکریم مقدار خرج در هر تاخیر است، مربوط می‌شود. توجه به این نکته ضروری است که این روابط بطور معمول دارای ضرایب آماری نسبتاً پایینی بوده و به هنگام معکوس شدن، دقت این روابط بسیار پایین می‌آید. مطلب مذکور برای اولین

۳. تخمین حداقل خرج ایمن در هر تاخیر انفجار با روش‌های تجربی

برای کاهش اثرات لرزش زمین و محافظت از سازه‌ها، محققین و موسسه‌های تحقیقاتی با توجه به معیارهای گوناگون، روابطی را برای پیش‌بینی لرزش ناشی از انفجار بر مبنای داده‌های آزمایشی ثبت شده، ارائه کرده‌اند. از معروف‌ترین این روابط می‌توان به رابطه‌ی اداره‌ی معادن امریکا (Duvall and Fogelson, 1962)، رابطه‌ی لانگفورد-کیلستروم (Langefors and Kihlstrom, 1978) و رابطه‌ی آمبراسیس-هندرن (Ambraseys and Hendron, 1968) اشاره کرد.

رابطه‌ی ارائه شده توسط رای و همکاران، اولین رابطه‌ی مستقلی است که جهت تخمین خرج ایمن در هر تاخیر انفجارات سطحی گسترش یافته است (Rai et al., 2005). بعد‌ها نیز تحقیقات مشابهی صورت گرفته است (Alipour and Khandelwal, 2012)، (Ashtiani, 2011) و (Singh, 2013).

به‌طور معمول در مدل‌سازی شدت لرزش ناشی از انفجار با استفاده از روابط تجربی، سه پارامتر اصلی ماکزیمم خرج در هر تاخیر، فاصله از محل سینه‌کار انفجار و ماکزیمم سرعت ذرات به کار گرفته می‌شوند (Hossaini and Sen, 2004) سایر پارامترهای طرح انفجار و پارامترهای ژئومکانیکی به صورت مستتر در ضریب و ثوابت موجود در روابط تجربی مورد توجه قرار می‌گیرند (Hossaini and Sen, 2006).

در تحقیقات تکمیلی سال‌های اخیر، با روش‌های پیش‌بینی مبتنی بر هوش مصنوعی، مدل‌سازی‌ها با پارامترهای بیشتر و در بردارنده خصوصیات ژئومکانیکی محدوده‌ی انفجار و مشخصه‌های طرح انفجاری صورت گرفته است (Khandelwal and Singh, 2009).

با این حال اهمیت پارامترهای ماکزیمم خرج در هر تاخیر انفجار، فاصله از محل سینه‌کار و ماکزیمم سرعت ذرات، و ارتباط‌دهی آنها بیشتر مورد توجه بوده است. در جدول ۳ مهمترین روابط تجربی رایج تخمین‌گر شدت لرزش و خرج

کانسار و به‌دلیل تناز بالا، استخراج معدن به روش روباز صورت می‌گیرد. ذخیره‌ی احتمالی این معدن بیش از یک میلیارد تن و ذخیره قابل استخراج آن حدود ۷۹۶ میلیون تن برآورد شده است. به‌طور کلی محدوده‌ی معدن از دیدگاه ژئوشناسی، از سنگ‌های کربناته کرتاسه بالایی، توده‌ی مونزونیتی پورفیری اصلی، دایک‌های مونزونیتی و دیوریتی و سایر واحدهای آتش‌شانی تشکیل شده است. بر مبنای مطالعات ژئومکانیکی این محدوده به شش زون و بلوک مجزا تقسیم‌بندی شده است. اطلاعات ژئومکانیکی مربوط به بلوک‌های مختلف معدن سونگون در جدول ۱ ارائه شده است.

جدول ۱. مشخصات ژئومکانیکی بلوک‌های معدن سونگون

(Parsaei, 2010)

| Block number | Lithology | USC (Mpa) | Rock mass deformation modulus (MPa) | Cohesion values of rock mass (KPa) |
|--------------|-----------------------|-----------|-------------------------------------|------------------------------------|
| 1 | Monzonite | 3.575 | 1862 | 205-220 |
| 2 | Monzonite | 1.402 | 1050 | 130-145 |
| 3 | Monzonite | 1.558 | 760 | 100-110 |
| 4 | Monzonite | 2.817 | 1841 | 195-210 |
| 5 | Monzonite and Diorite | 4.184 | 1683 | 220-240 |
| 6 | Argillite | 0.782 | 966 | 95-105 |

به‌علت حضور سازه‌های جنبی معدن، کنترل لرزش ناشی از انفجار ضروری است. با توجه به اهمیت انفجار به عنوان بخش مهمی از سیکل معدن‌کاری و روند ثابت الگوهای انفجاری در معدن سونگون، بررسی امکان ارائه‌ی رابطه‌ی میرایی امواج لرزشی ضروری است. در جدول ۲ خلاصه‌ای از مشخصات چالزنی و انفجار مربوط به این معدن ارائه شده است.

جدول ۲. مشخصات چالزنی و انفجار در محل معدن سونگون

| Parameter | Related information | Parameter | Related information |
|----------------------|------------------------|------------------------------|-----------------------------------|
| Hole Diameter (mm) | 90, 127 | Stemming (m) | One third of Hole length |
| Hole length (m) | 13-15 | Specific Charge (gr/m^3) | 300-800 |
| Bench high (m) | 12.5 | Blast Hole inclination | Vertical |
| Burden & spacing (m) | 2×2, 2×3, 2.5×3.5, 4×5 | Charging configuration | Bottom priming, continuous charge |

پیشنهادی، در جدول ۵ آورده شده است. به کمک ضرایب بدست آمده‌ی جدول ۵ می‌توان ماکزیمم خرج ایمن هر تاخیر را با توجه به سطح مجاز و مشخص PPV و فاصله‌ی سینه‌کار انفجار تا محل مورد بررسی، مشخص نمود.

جدول ۵. روابط پیشنهادی تجربی مورد استفاده جهت تخمین خرج ایمن هر تاخیر در انفجارات معدن سونگون

| Predictor | Formulation |
|-----------------------|---|
| USBM | $Q = D^2 \left(\frac{PPV}{302.07} \right)^{\frac{2}{1.561}}$ |
| Ambraseys and Hendron | $Q = D^3 \left(\frac{PPV}{1810.6} \right)^{\frac{3}{1.58}}$ |
| Rai et al. | $Q = 0.0598(PPV \times D^2)^{0.7066}$ |

به طور رایج با مینا قرار دادن دو پارامتر اصلی میزان حداکثر سرعت ذرات و فاصله از سینه‌کار و بدست آوردن ضرایب مخصوص روابط پیشنهادی از طریق چندین انفجار آزمایشی، در هر پروژه‌ی درگیر با عملیات انفجاری می‌توان تخمینی جهت محاسبه خرج ایمن هر تاخیر، ارائه داد.

شکل کلی رابطه‌ی تخمینگر خرج ایمن هر تاخیر با قالب کلی مطابق رابطه‌ی ۱ قابل بیان است. در این رابطه k_2, k_1, k_0 ضرایب ثابتی هستند که از طریق رگرسیون برای هر مورد مطالعاتی قابل تعیین هستند.

$$Q = k_0 \cdot D^{k_1} \cdot PPV^{k_2} \quad (1)$$

در تحقیق حاضر علاوه بر مدل تخمین ارائه شده در رابطه (۱)، مدل غیرخطی دیگری نیز مورد استفاده قرار گرفته است که در رابطه‌ی (۲) بیان شده است.

$$Q = k_0 + k_1 PPV^{k_2} + k_3 D^{k_4} + k_5 PPV^{k_6} D^{k_7} \quad (2)$$

در رابطه‌ی بالا $k_0, k_1, k_2, k_3, k_4, k_5, k_6, k_7$ و ضرایب ثابتی هستند که باید تعیین شوند.

ایمن ارائه شده است.

جدول ۳. مدل‌های تجربی منتخب تخمینگر حداکثر سرعت ذرات

| Name of Predictor Equation | Equations |
|----------------------------|---|
| Duvall & Fogelson, USBM | $PPV = K \cdot \left(\frac{R}{\sqrt{Q}} \right)^{-B}$ |
| Ambraseys – Hendron | $PPV = K \cdot \left(\frac{R}{\sqrt[3]{Q}} \right)^{-B}$ |
| Rai et al. | $Q_{\max} = K \cdot (V \times D^2)^B$ |

با استفاده از روابط مندرج در جدول ۳ و بدست آوردن ضرایب مخصوص هر ساختگاه می‌توان رابطه‌ی مختص آنرا تعیین نمود. لازم بهذکر است که از سه رابطه‌ی پیشنهادی جدول ۳، رابطه‌ی پیشنهادی رای و همکاران به‌طور مستقیم به منظور تعیین خرج ایمن قابل استفاده است و دو رابطه‌ی دیگر با کارکرد اصلی تخمین ماکزیمم سرعت ذرات توسعه یافته‌اند. در روابط ارائه شده (جدول ۳)، PPV ماکزیمم سرعت ذرات، Q ماکزیمم خرج به‌ازای هر تاخیر، D فاصله و ثابت‌های K و B ضرایب ثابت محلی هستند، که از طریق رگرسیون بدست می‌آیند؛ در واقع این ضرایب به مشخصات محل انفجار بستگی دارند. مهمترین مشخصات محلی شامل: زمین‌شناسی محل، نوع سنگ‌ها، نوع و کمیت ماده‌ی منفجره در هر تاخیر، طول زمان تاخیر، پارامترهای ژئومتری طرح انفجار و ... می‌باشند. در تحقیق حاضر، نتایج ۳۷ داده‌ی انفجاری ثبت شده در معدن سونگون به منظور مدل‌سازی مورد استفاده قرار گرفته است. پارامترهای آمار توصیفی نتایج ثبت شده در جدول ۴ ارائه شده است.

جدول ۴. پارامترهای آمار توصیفی نتایج ثبت شده از انفجار

| Parameter | PPV (mm/s) | R (m) | Q (kg/delay) |
|--------------------|------------|--------|--------------|
| Mean | 25.244 | 413.54 | 1004 |
| Variance | 1689 | 90413 | 6.898E+5 |
| Standard deviation | 41.1 | 300.69 | 830.55 |
| Minimum | 1.07 | 40 | 101 |
| Median | 4.72 | 341 | 843 |
| Maximum | 137 | 1179 | 3313 |

نتایج آماری تجزیه و تحلیل داده‌های ثبت شده بر مبنای روابط

حد نهایی رقابت استعماری یا شرط خاتمه الگوریتم، اتمام تعداد تکرارهای تعیین شده یا تا زمانی که تمام مستعمرات تحت کنترل یک امپراطوری واحد قرار گیرند، می‌باشد. در این امپراطوری مستعمرات از لحاظ قدرت به کشور امپریالیست خیلی نزدیک هستند (Atashpaz-Gargari and Lucas, 2007a). تا حال از ICA برای حل مسائل گوناگون بهینه‌سازی استفاده شده است، که از آن جمله می‌توان به پیش‌بینی بازار Sharifi (Sadaei et al., 2016)، طراحی فیلتر دیجیتال (Ardalan and Mojallali, 2015) و مسائلی فروشنده دوره‌گرد (Behnamian and Lian et al., 2012) و (Zandieh, 2011) اشاره کرد. فلوچارت روش حل مساله در شکل ۱ نشان داده شده است.

به منظور تعیین ضرایب روابط پیشنهادی توسط الگوریتم رقابت استعماری توابع هدفی مطابق روابط ۳ و ۴ در نظر گرفته شده است.

$$\text{Minimize} \sum_{i=1}^n \left(k_0 \times D_i^{k_1} \times PPV_i^{k_2} \right)^2 \quad (3)$$

$$\text{Minimize} \sum_{i=1}^n \begin{pmatrix} k_0 \\ +k_1 PPV_i^{k_2} \\ +k_3 D_i^{k_4} \\ +k_5 PPV_i^{k_6} D_i^{k_7} \\ -Q_i \end{pmatrix}^2 \quad (4)$$

در روابط بالا $k_0, k_1, k_2, k_3, k_4, k_5, k_6$ و k_7 ضرایب ثابتی هستند که بر مبنای رگرسیون غیرخطی مبتنی بر الگوریتم ICA قابل تعیین هستند. Q_i و D_i نیز مقادیر ثبت شده مربوط به مورد مطالعاتی هستند.

۴. کاربرد الگوریتم رقابت استعماری جهت تخمین حداقل خرج ایمن در هر تا خیر انفجار

در این بخش از تحقیق الگوریتم رقابت استعماری ضرایب مدل تخمین خرج ایمن استفاده شده است. ICA (Imperialist Competitive Algorithm) (ACA) برای تعیین توسط آتش‌پز و لوکاس در سال ۲۰۰۷ ارائه شده است، که الهام‌گرفته از فرآیندهای سیاسی-اجتماعی می‌باشد (Atashpaz-Gargari and Lucas, 2007a) فرآبتكاری جمعیت محور، این الگوریتم نیز کار خود را با یک جمعیت اولیه تصادفی شروع می‌کند، که هر کدام از اعضای جمعیت "کشور" نامیده می‌شود. با توجه به تابع هدف مساله، تعدادی از بهترین کشورهای جمعیت اولیه به عنوان امپریالیست انتخاب شده و مابقی به عنوان مستعمره (Colony) در نظر گرفته می‌شوند. به مجموعه‌ی یک امپریالیست و مستعمرات آن بستگی دارد. با شکل‌گیری امپراطوری‌های اولیه، رقابت امپریالیستی میان آنها شروع شده و هر امپراطوری که نتواند در رقابت استعماری، موفق عمل کرده و بر قدرت خود بیفزاید (و یا حداقل از کاهش نفوذش جلوگیری کند) حذف خواهد شد. بنابراین بقای یک امپراطوری، وابسته به قدرت آن در جذب مستعمرات امپراطوری‌های رقیب و به سیطره در آوردن آنها خواهد بود. در نتیجه، در جریان رقابت‌های امپریالیستی، به تدریج بر قدرت امپراطوری‌های بزرگتر افزوده شده و امپراطوری‌های ضعیفتر حذف خواهند شد. امپراطوری‌ها برای افزایش قدرت خود، مجبور خواهند شد تا مستعمرات خود را نیز پیشرفت دهند.

با گذشت زمان، مستعمرات از لحاظ قدرت به امپریالیست نزدیک‌تر خواهند شد و شاهد یک نوع همگرایی در جواب‌های مساله خواهیم بود. حد نهایی رقابت استعماری، زمانی است که یک امپراطوری واحد در دنیا وجود داشته باشد.

تخمین PPV ارائه شده‌اند، تنها رابطه‌ای که به‌منظور تخمین خرج اینمن ارائه شده، رابطه‌ی رای و همکاران است؛ به‌دلیل فقدان رابطه‌ی مناسب، با استفاده از مهمترین پارامترهای قابل دسترس و تاثیرگذار که شامل: سطح اینمن شدت لرزش PPV و فاصله از سینه-کار مورد بررسی است، مدل کلی تعریف شده و ضرایب آن با استفاده از الگوریتم رقابت استعماری تعیین شده است.

برای مقایسه برازنده‌گی تخمین‌های صورت گرفته، آزمون‌های آماری مشخصی قابل استفاده هستند، که آزمون‌های مورد استفاده در این تحقیق در جدول ۶ جمع‌بندی شده‌اند. در روابط ارائه شده برای آزمون‌های آماری، Q_{Esti} و Q_{Meas} به ترتیب برابر با مقادیر اندازه‌گیری شده و تخمین زده شده‌ی ماقریم خرج هر تأخیر انفجار می‌باشد.

Error! Reference source بر مبنای شاخص‌های قید شده در **not found**.

Error! Reference source not found. گرفتند، که نتیجه آن در

ارائه شده است. با توجه به مقادیر حاصله از آزمون‌های آماری (**Error! Reference source not found**) مدل دوم تخمین مبتنی بر الگوریتم رقابت استعماری (رابطه‌ی ۶) در تمامی ارزیابی‌ها بهترین مقدار را دارا می‌باشد. در نتیجه این مدل به‌منظور طراحی انفجارات سطحی معدن سونگون پیشنهاد می‌شود.

جدول ۶. آزمون‌های آماری مورد استفاده برای مقایسه میزان برازنده‌گی تخمین.

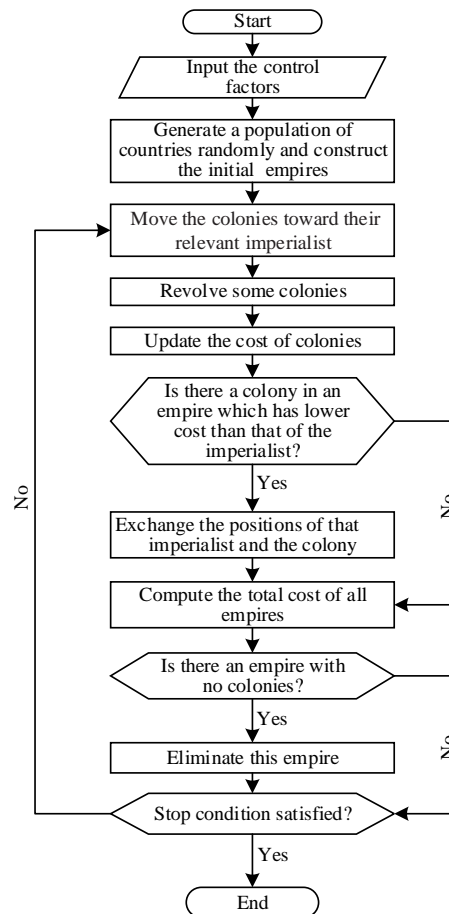
Statistical criteria Formulation

$$CC = \frac{\sum_{i=1}^{i=n} \left[\left(Q_{Meas}^i - \overline{Q_{Meas}} \right) \left(Q_{Esti}^i - \overline{Q_{Esti}} \right) \right]}{\sqrt{\sum_{i=1}^{i=n} \left(Q_{Meas}^i - \overline{Q_{Meas}} \right)^2} \times \sqrt{\sum_{i=1}^{i=n} \left(Q_{Esti}^i - \overline{Q_{Esti}} \right)^2}}$$

$$RMSE = \sqrt{\frac{1}{n} \times \sum_{i=1}^{i=n} \left(Q_{Meas}^i - Q_{Esti}^i \right)^2}$$

$$VARE = \text{var} \left(\left| \frac{Q_{Meas} - Q_{Esti}}{Q_{Meas}} \right| \right) \times 100$$

$$VAF = \left[1 - \frac{\text{var} \left(Q_{Meas} - Q_{Esti} \right)}{\text{var} \left(Q_{Meas} \right)} \right] \times 100$$



شکل ۱. فلوچارت الگوریتم رقابت استعماری (Atashpaz- (Gargari and Lucas, 2007b)

ضرایب توابع هدف ارائه شده در روابط (۳) و (۴) با استفاده از الگوریتم رقابت استعماری که با زبان برنامه‌نویسی C++ در محیط مایکروسافت ویژوال استدیو ۲۰۱۳ بسط یافته، مطابق با روابط (۵) و (۶) تعیین شده است.

$$Q_{ICA_1} = 0.000121PPV^{01.3235} D^{2.2767} \quad (5)$$

$$\begin{aligned} Q_{ICA_2} = & -3136.4 \\ & + 2788.5PPV^{-0.436} \\ & + 16963.5D^{-0.456} \\ & + 0.0004275PPV^{1.294} D^{2.130} \end{aligned} \quad (6)$$

۵. مقایسه عملکرد مدل‌های مختلف پیشتر ذکر شد که روابط مندرج در جدول ۳ در اصل به‌منظور

۶. نتیجه‌گیری

لزوم توجه به انجام انفجارات ایمن با توجه به نارضایتی‌های مجاورین و جلوگیری از آسیب به سازه‌ای اطراف ضروری است. رفتارنگاری صحیح، با هدف تحلیل مناسب نتایج، منجر به استفاده‌ی صحیح از انرژی مواد منفجره در راستای جابجایی مناسب سنگ می‌شود. توجه به روابط تجربی میرایی و استانداردهای موجود لرزش انفجار، مانع از انجام انفجارات بی‌مهابا و محتاطانه می‌شود.

روابط تجربی تخمین‌گر شدت لرزش به‌هنگام به‌کارگیری جهت تخمین خرج ایمن هر تاخیر، از عملکردی توأم با خطای زیاد برخوردارند. با توجه به ارزیابی داده‌های مربوط به انفجارات معدن سونگون، عدم کارکرد مناسب رابطه‌های متداول این حوزه نظیر: روابط آمراسیس-هندرتون و اداره معادن آمریکا به اثبات رسید؛ می‌بایست توجه شود که دو مدل اداره‌ی معادن آمریکا و آمراسیس - هندرتون فقط جهت تخمین PPV به صورت تابعی از ماکزیمم خرج ایمن هر تاخیر و فاصله از سینه‌کار، عمل کرد مناسبی دارند؛ ولی کارایی لازم جهت تخمین خرج ایمن را ندارند.

برابر نتایج تحقیق حاضر، هرچند رابطه‌ی پیشنهادی رای و همکاران به‌منظور تخمین خرج ایمن انفجارات سطحی گسترش یافته، ولی در مقایسه با مدل‌های تجربی دیگر، از برتری محسوسی برخوردار نیست.

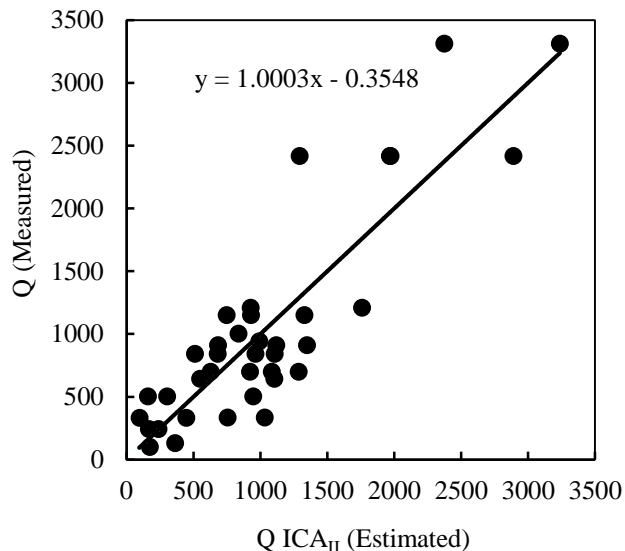
با استناد به شاخص‌های آماری، کارایی رابطه‌ی غیرخطی جدید مبتنی بر الگوریتم رقابت استعماری به عنوان بهترین رابطه‌ی تخمین‌گر ماکزیمم خرج ایمن به اثبات رسید، از این‌رو این رابطه به منظور طراحی انفجارات ایمن در معدن سونگون پیشنهاد می‌شود.

جدول ۷. مقایسه مدل‌های مختلف تخمین‌گر خرج ایمن هر

تاخیر بر مبانی آزمون‌های آماری

| Model Name | R | RMSE | VARE | VAF (%) |
|---|------|--------|--------|---------|
| USBM | 0.76 | 534.98 | 0.2265 | 0.578 |
| Ambraseys and Hendron | 0.77 | 773.88 | 0.4382 | 0.500 |
| Rai et al. | 0.73 | 596.64 | 0.2135 | 0.510 |
| Alipour and Mokhtarian (ICA _I -based) | 0.8 | 502.1 | 0.227 | 0.626 |
| Alipour and Mokhtarian (ICA _{II} -based) | 0.88 | 397.2 | 0.191 | 0.764 |

در شکل ۲ مقادیر تخمین‌زده شدهٔ حداقل خرج ایمن هر تاخیر انفجاری در مقابل مقادیر اندازه‌گیری شده ترسیم شده است.



شکل ۲. نمودار تخمین - اندازه‌گیری شده مدل ارائه شده مبتنی بر الگوریتم رقابت استعماری به هر مقدار که شبی خط حاصل از رگرسیون به عدد یک نزدیکتر باشد، دقیق تخمین مدل بهتر خواهد بود. در شکل مذکور نیز نزدیکی شبی خط مربوط به این رابطه به عدد یک گویای دقیق بالای مدل است.

منابع

- Alipour, A., Ashtiani, M., 2011. Fuzzy modeling approaches for the prediction of maximum charge per delay in surface mining. *International Journal of Rock Mechanics and Mining Sciences*, 48(2): 305-310.
- Alipour, A., Mokharian, M., Chehreghani, S., 2018. An Application of Fuzzy Sets to the Blastability Index (BI) Used in Rock Engineering. *Periodica Polytechnica Civil Engineering*, 62(3): 580-589.
- Alipour, A., Mokhtarian, M., Abdollahei Sharif, J., 2012. Artificial neural network or empirical criteria? A comparative approach in evaluating maximum charge per delay in surface mining — Sungun copper mine. *Journal of the Geological Society of India*, 79(6): 652-658.
- Ambroseys, N., Hendron, A., 1968. Dynamic behavior of rock masses in rock mechanics in engineering practice (KG Stagg & OC Zienkiewicz, Eds.). New York: John Wiley and Sons.
- Ardalan, Z., Karimi, S., Poursabzi, O., Naderi, B., 2015. A novel imperialist competitive algorithm for generalized traveling salesman problems. *Applied Soft Computing*, 26: 546-555.
- Atashpaz-Gargari, E., Lucas, C., 2007a. Imperialist competitive algorithm: an algorithm for optimization inspired by imperialistic competition, *Evolutionary computation*, 2007. CEC 2007. IEEE Congress on. IEEE, pp. 4661-4667.
- Atashpaz-Gargari, E., Lucas, C., 2007b. Imperialist competitive algorithm: An algorithm for optimization inspired by imperialistic competition, 2007 IEEE Congress on Evolutionary Computation, pp. 4661-4667.
- Behnamian, J., Zandieh, M., 2011. A discrete colonial competitive algorithm for hybrid flowshop scheduling to minimize earliness and quadratic tardiness penalties. *Expert Systems with Applications*, 38(12): 14490-14498.
- Dowding, C.H., 1992. Suggested method for blast vibration monitoring. *International Journal of Rock Mechanics and Mining Sciences & Geomechanics Abstracts*, 29(2): 145-156.
- Duvall, W.I., Fogelson, D.E., 1962. Review of criteria for estimating damage to residences from blasting vibrations. US Department of the Interior, Bureau of Mines.
- Hossaini, M., Sen, G.C., 2006. A Study of the Influence of Different Blasting Modes and Explosive Types on Ground Vibrations. *Iranian Journal of Science and Technology*, 30(B3): 313-325.
- Hossaini, S., Sen, G., 2004. Effect of explosive type on particle velocity criteria in ground vibration. *Journal of Explosives Engineering*, 21(4): 34-36.
- Hosseinzadeh Gharehghehslagh, H., Alipour, A., 2020. Ground vibration due to blasting in dam and hydropower projects. *Rudarsko-geološko-naftni zbornik (The Mining-Geological-Petroleum Bulletin)*, 35(3).
- Hudaverdi, T., Akyildiz, O., 2017. Investigation of the site-specific character of blast vibration prediction. *Environmental Earth Sciences*, 76(3): 138.
- Khandelwal, M., Singh, T.N., 2009. Prediction of blast-induced ground vibration using artificial neural network. *International Journal of Rock Mechanics and Mining Sciences*, 46(7): 1214-1222.
- Khandelwal, M., Singh, T.N., 2013. Application of an Expert System to Predict Maximum Explosive Charge Used Per Delay in Surface Mining. *Rock Mechanics and Rock Engineering*, 46(6): 1551-1558.
- Koçaslan, A., Yüksek, A.G., Görgülü, K., Arpaç, E., 2017. Evaluation of blast-induced ground vibrations in open-pit mines by using adaptive neuro-fuzzy inference systems. *Environmental Earth Sciences*, 76(1): 57.
- Kumar, R., Choudhury, D., Bhargava, K., 2016. Determination of blast-induced ground vibration equations for rocks using mechanical and geological properties. *Journal of Rock Mechanics and Geotechnical Engineering*, 8(3): 341-349.
- Langefors, U., Kihlstrom, B., 1978. The Modern Science of Rock Blasting. Almqvist & Wiksell.
- Lian, K., Zhang, C., Gao, L., Shao, X., 2012. A modified colonial competitive algorithm for the mixed-model U-line balancing and sequencing problem. *International Journal of Production Research*, 50(18): 5117-5131.
- Mokhtarian Asl, M., Alipour, A., 2020. A nonlinear model to estimate vibration frequencies in surface mines. *International Journal of Mining and Geo-Engineering*, 54(2): 167-171.
- Parsaei, M., 2010. Geomechanic and stability conditions analysis of the sungun copper mine's rock mass by numerical modeling. *Journal of Earth and Resources*, 3(3 (8)): -.
- Rai, R., Shrivastva, B.K., Singh, T.N., 2005. Prediction of maximum safe charge per delay in surface mining. *Mining Technology*, 114(4): 227-231.
- Sadaei, H.J., Enayatifar, R., Lee, M.H., Mahmud, M., 2016. A hybrid model based on differential fuzzy logic relationships and imperialist competitive algorithm for stock market forecasting. *Applied Soft Computing*, 40: 132-149.
- Sharifi, M.A., Mojallali, H., 2015. A modified imperialist competitive algorithm for digital IIR filter design, 2015 The International Symposium on Artificial Intelligence and Signal Processing (AISP), pp. 7-12.